

1

Principles

2

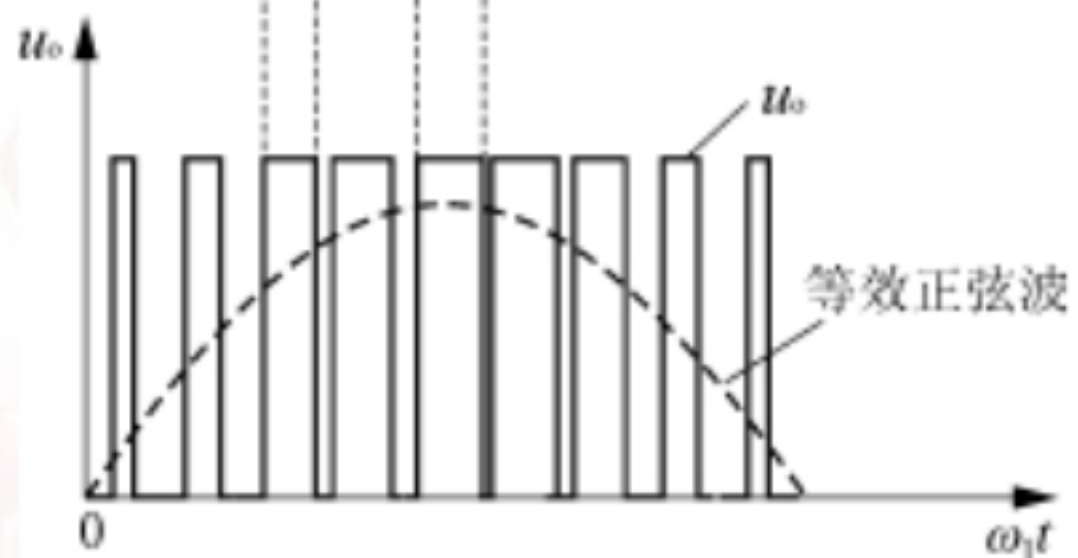
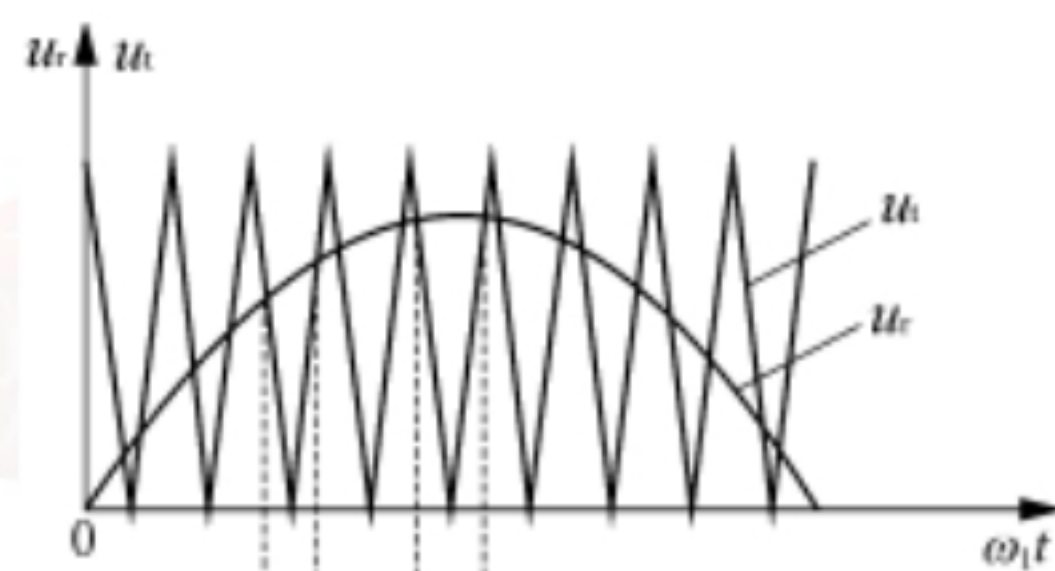
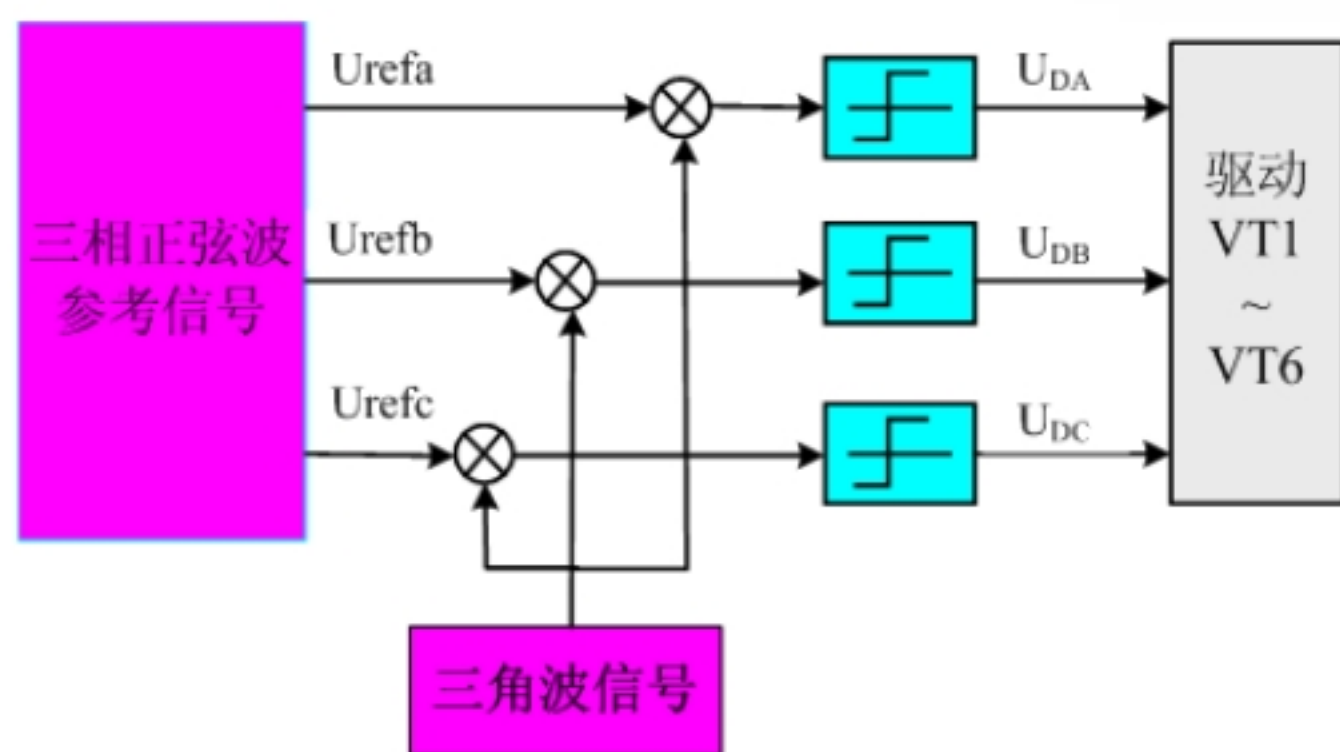
Digital implementation

3

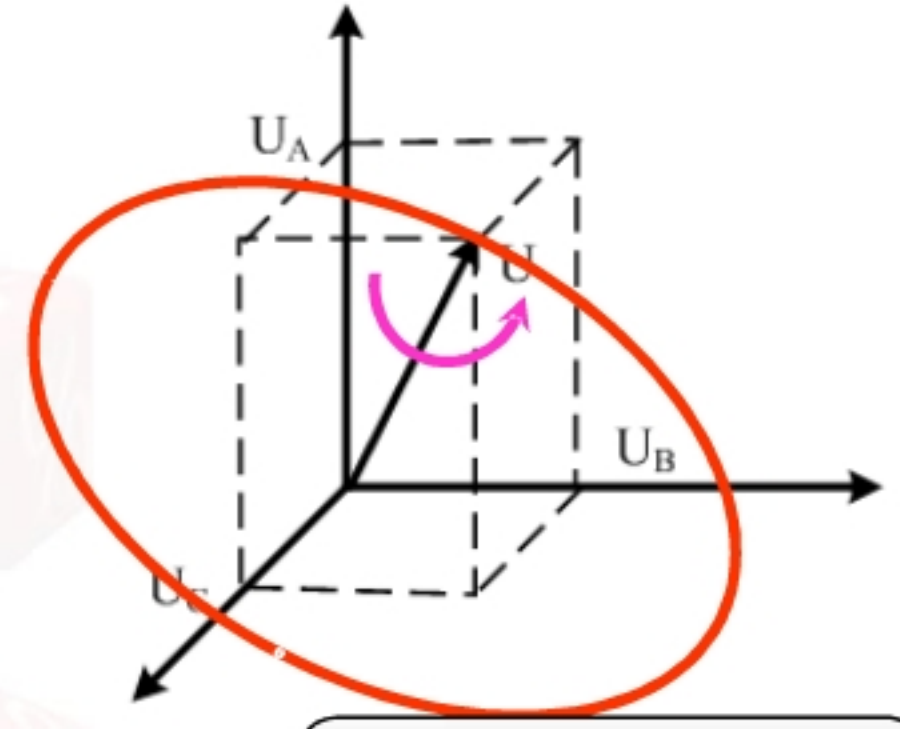
Comparison with SPWM

$$\begin{cases} U_A = U_m \sin(\omega t) \\ U_B = U_m \sin(\omega t - \frac{2}{3}\pi) \\ U_C = U_m \sin(\omega t + \frac{2}{3}\pi) \end{cases}$$

SPWM: 着眼于生成三相对称正弦电压源



$$\begin{cases} U_A = U_m \sin(\omega t) \\ U_B = U_m \sin(\omega t - \frac{2}{3}\pi) \\ U_C = U_m \sin(\omega t + \frac{2}{3}\pi) \end{cases}$$



SVPWM: 着眼于使形成的磁链轨迹跟踪由理想三相平衡正弦波电压源供电时所形成的基准磁链圆

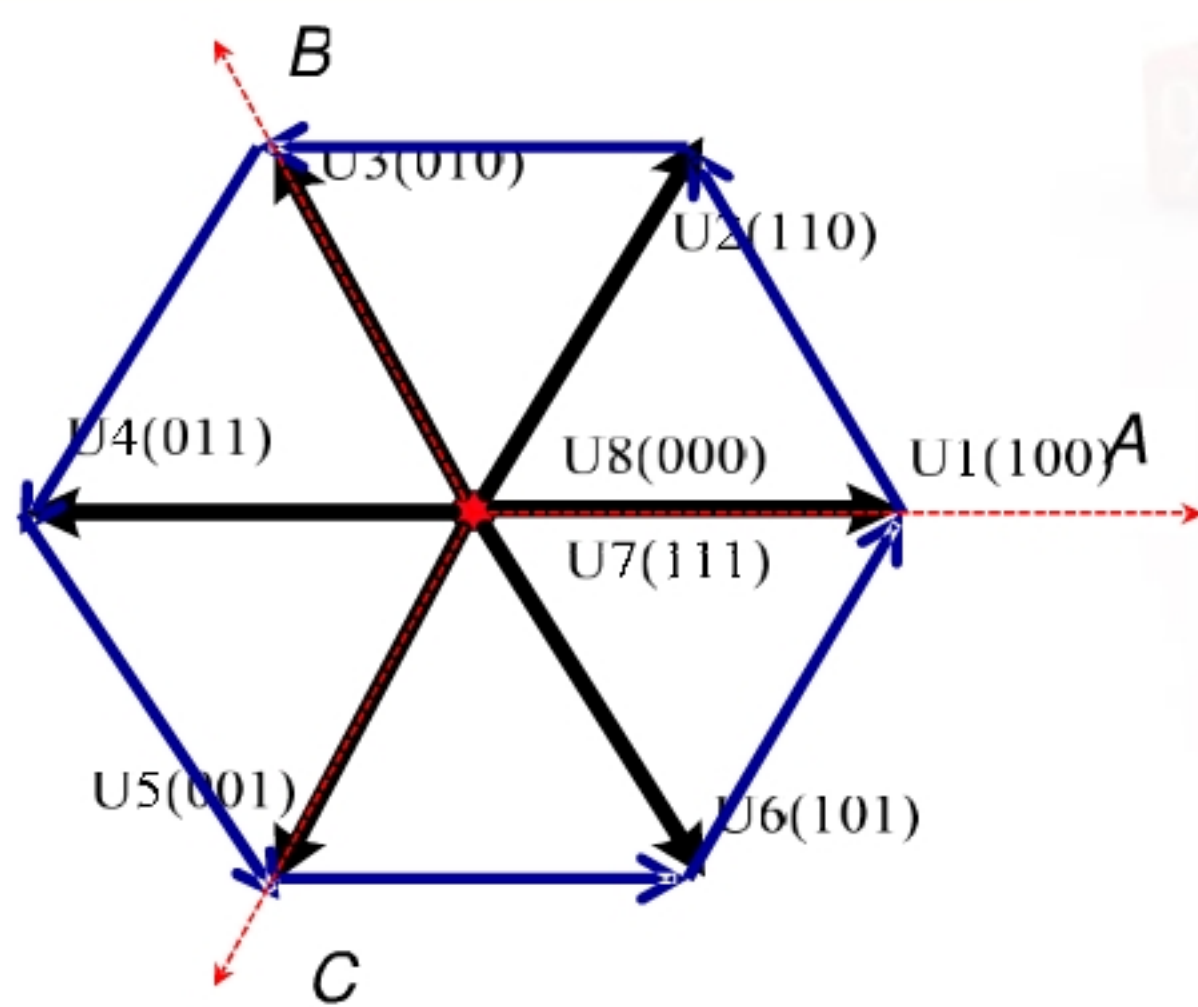
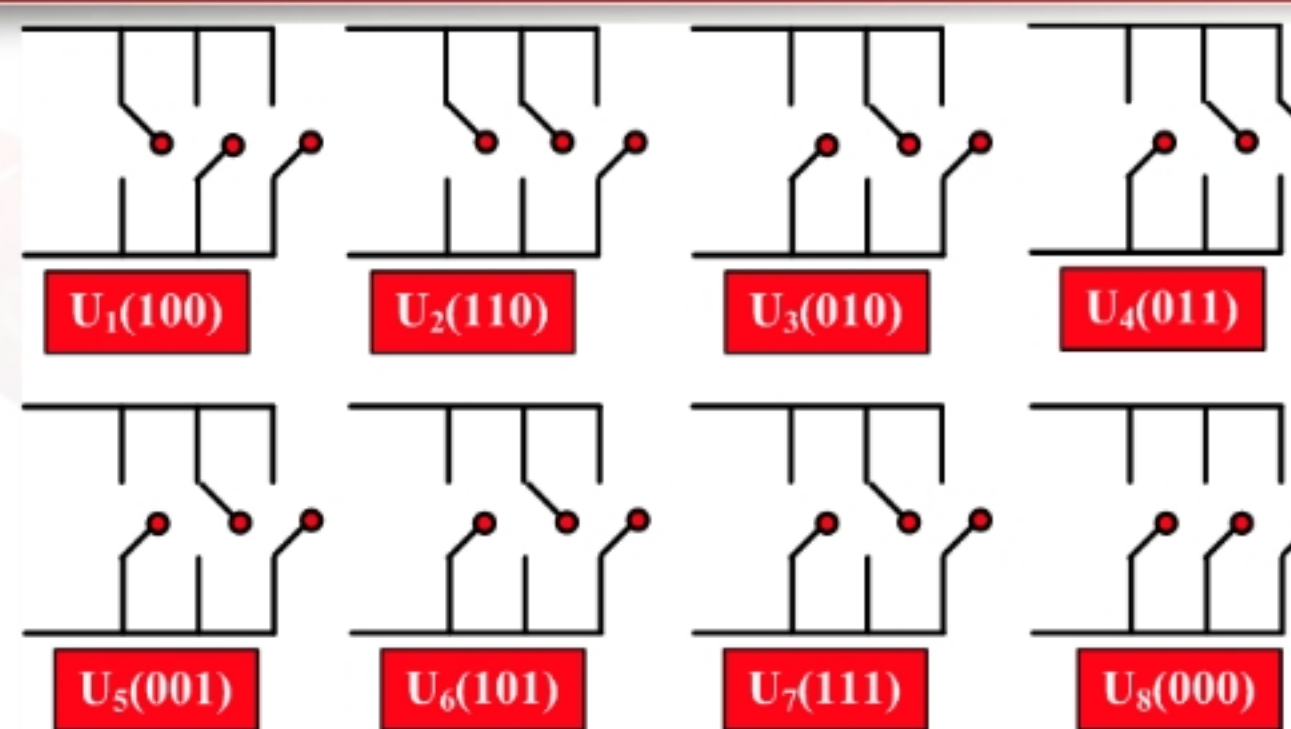
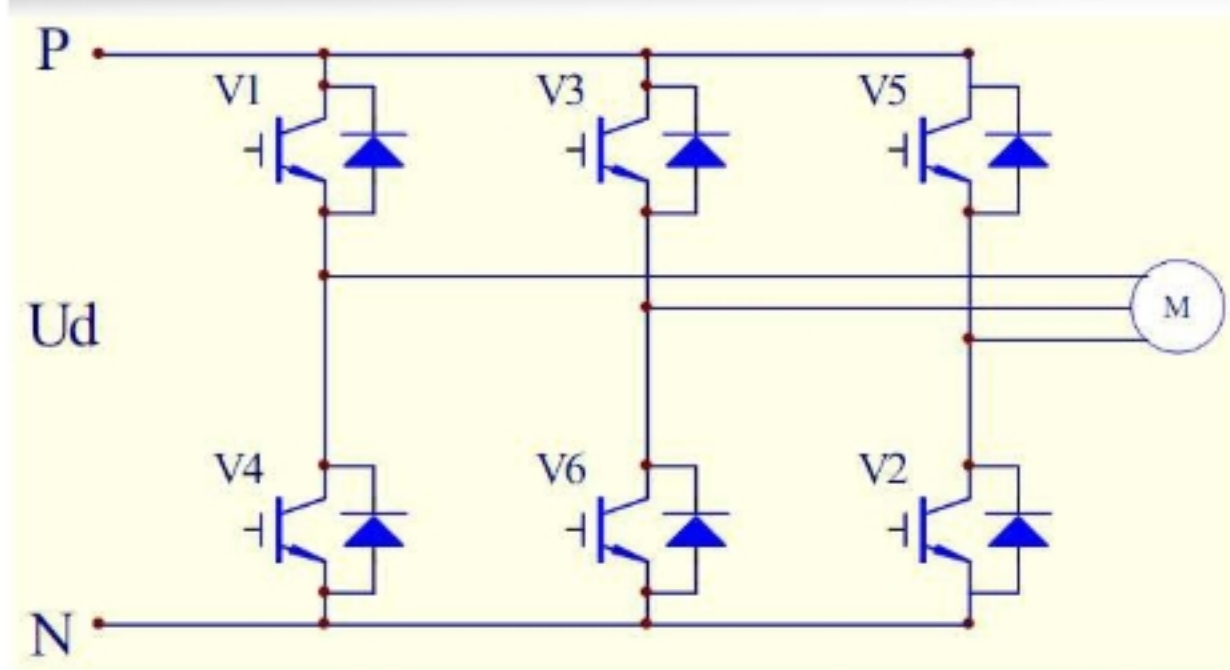
旋转向量

$$\vec{U} = \vec{U}_A + \vec{U}_B + \vec{U}_C = \sqrt{\frac{3}{2}} U_m (\sin \omega t, \sin \omega t - \frac{2}{3}\pi, \sin \omega t + \frac{2}{3}\pi)$$

$$|\vec{U}| = \sqrt{U_A^2 + U_B^2 + U_C^2} = \sqrt{\frac{3}{2}} U_m$$

幅值

位于过O点的平面



$U_1 \sim U_6$: 有效电压矢量

$U_7 \sim U_8$: 零矢量

转矩、转速波动，运行特性恶化：步进磁场，每 $T/6$ 跳变一次

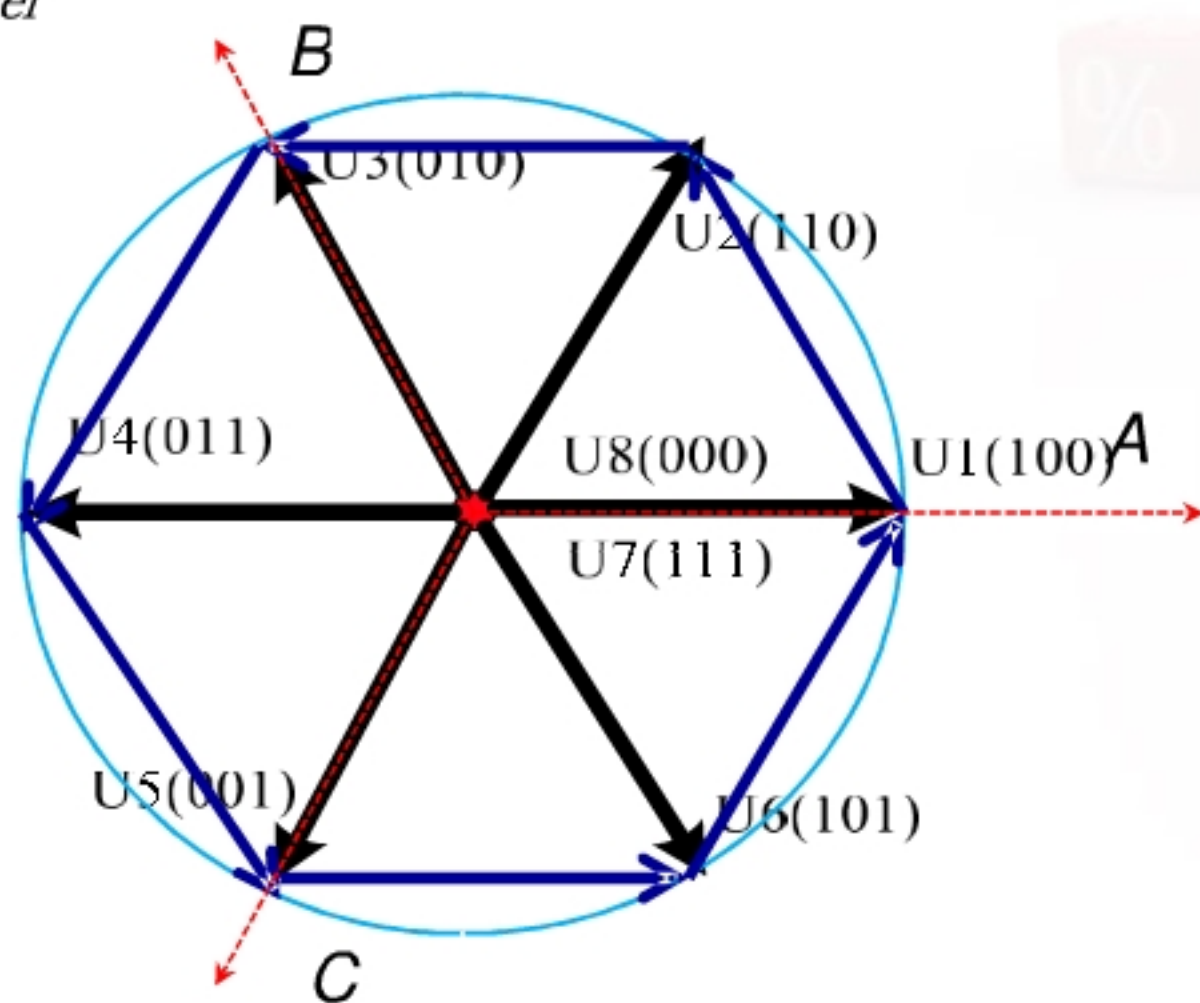
形成更多电压和磁链空间矢量

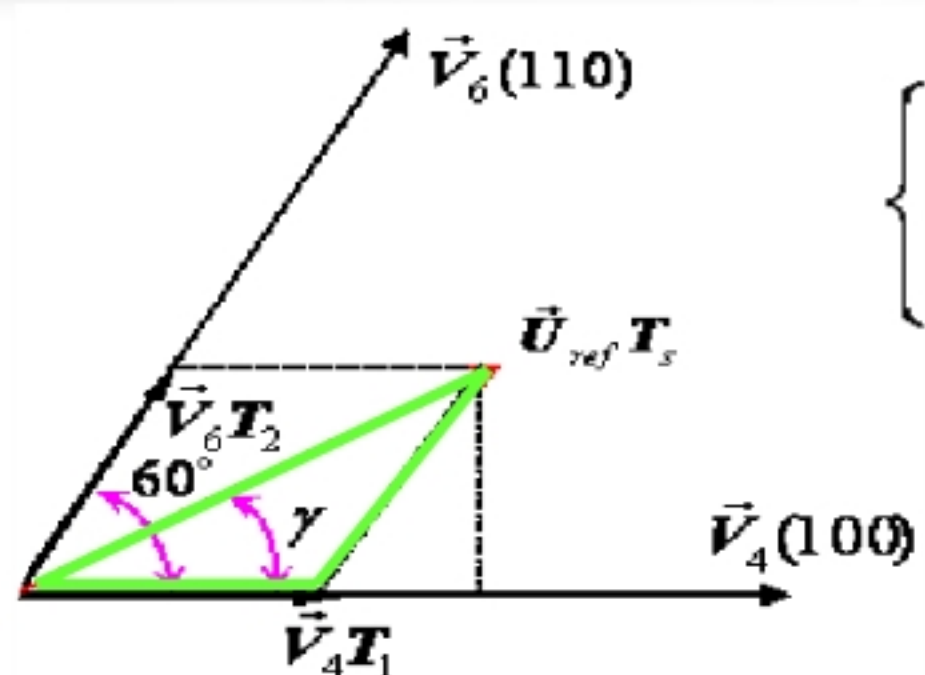
细分电压矢量作用时间，电压矢量重新组合

形成正多边形磁链轨迹，逼近圆形基准磁链

SVPWM的基本原理：

在每一个采样周期内利用若干个基本电压矢量合成任意给定的参考电压矢量 U_{ref}



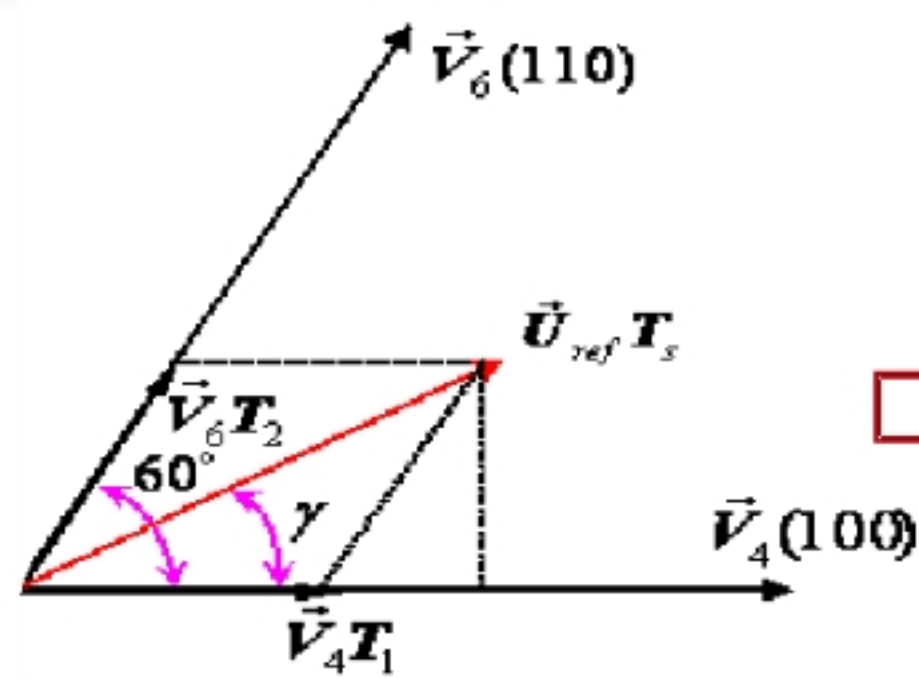


$$\begin{cases} \vec{U}_{ref} T_s = \vec{V}_4 T_1 + \vec{V}_6 T_2 \\ T_0 = T_s - T_1 - T_2 \end{cases}$$

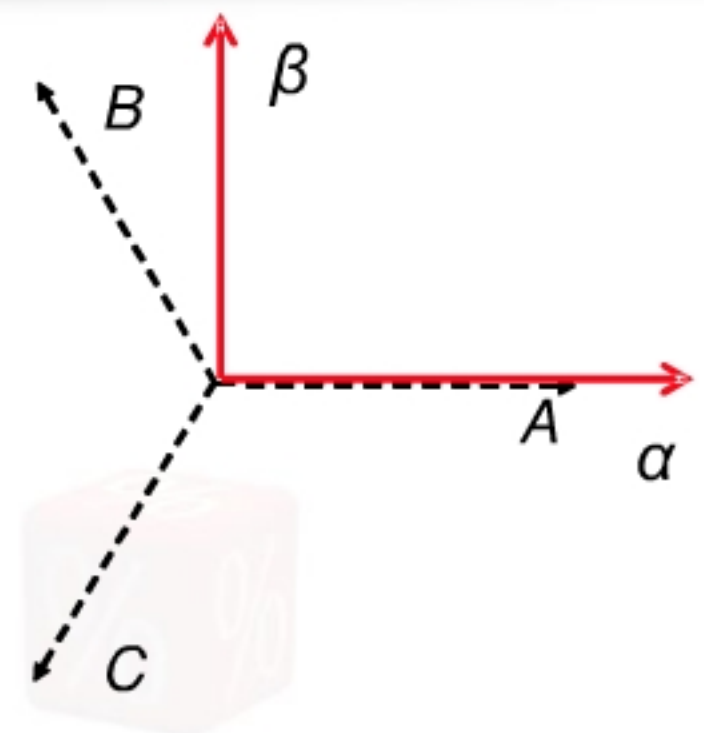
$$\frac{|U_{ref}|}{\sin \frac{2\pi}{3}} = \frac{\left| \frac{T_2}{T_s} V_6 \right|}{\sin \gamma} = \frac{\left| \frac{T_1}{T_s} V_4 \right|}{\sin(\frac{\pi}{3} - \gamma)}$$

$$\rightarrow \begin{cases} T_1 = \sqrt{3} T_s \frac{|U_{ref}|}{V_{dc}} \sin(\frac{\pi}{3} - \gamma) \\ T_2 = \sqrt{3} T_s \frac{|U_{ref}|}{V_{dc}} \sin \gamma \end{cases}$$

需要进行三角函数的求解，耗费大量计算时间



$$T(0) = \frac{2}{3} \begin{bmatrix} 1 & -\frac{1}{2} & -\frac{1}{2} \\ 0 & \frac{\sqrt{3}}{2} & -\frac{\sqrt{3}}{2} \end{bmatrix}$$



$$\begin{cases} \vec{U}_{ref} T_s = \vec{V}_4 T_1 + \vec{V}_6 T_2 \\ T_0 = T_s - T_1 - T_2 \end{cases} \rightarrow \begin{cases} \vec{u}_{ref\alpha} T_s = T_1 \vec{V}_4 + T_2 \vec{V}_6 \cos 60^\circ \\ \vec{u}_{ref\beta} T_s = T_2 \vec{V}_6 \sin 60^\circ \end{cases} \rightarrow \begin{cases} T_1 = \frac{1}{2} (\sqrt{3} \vec{u}_{ref\alpha} - \vec{u}_{ref\beta}) \frac{\sqrt{3} T_s}{V_{dc}} \\ T_2 = \vec{u}_{ref\beta} \frac{\sqrt{3} T_s}{V_{dc}} \end{cases}$$

$$T_0 = T_s - T_1 - T_2$$



常规实现方法



扇区确定

$$|u_{ref}| = \sqrt{u_{ref\alpha}^2 + u_{ref\beta}^2}$$

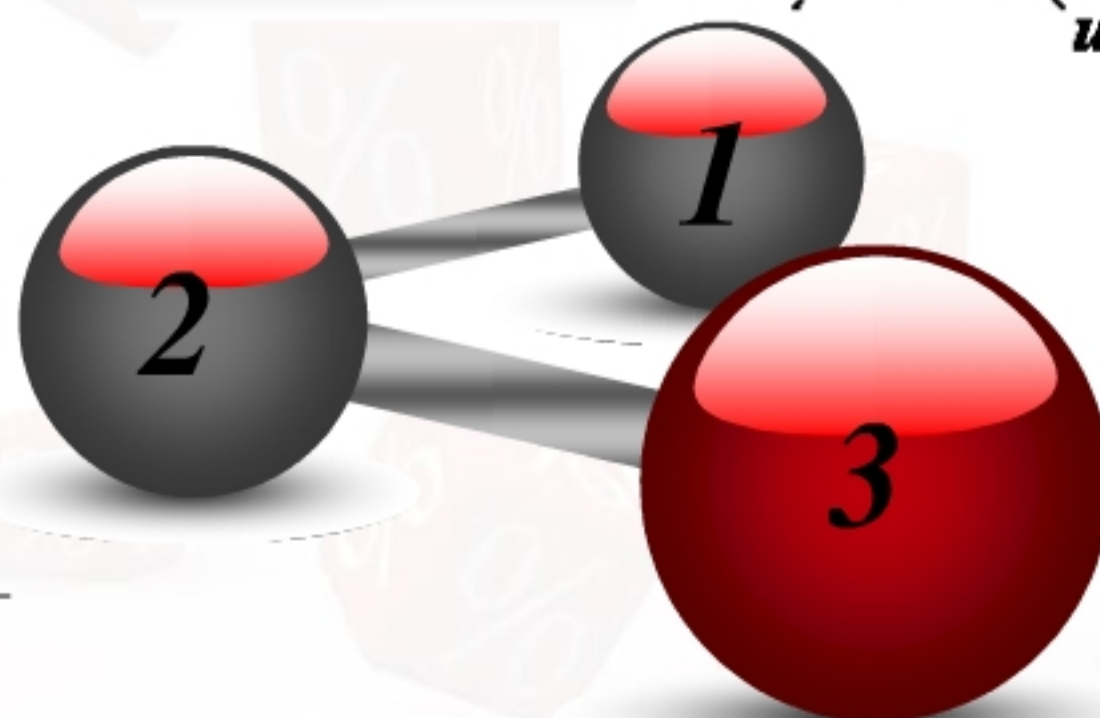
$$\gamma = \tan^{-1}\left(\frac{u_{ref\beta}}{u_{ref\alpha}}\right)$$

电压矢量作用时间确定

$$\begin{cases} T_1 = \frac{1}{2}(\sqrt{3}u_{ref\alpha} - u_{ref\beta}) \frac{\sqrt{3}T_s}{V_{dc}} \\ T_2 = u_{ref\beta} \frac{\sqrt{3}T_s}{V_{dc}} \end{cases}$$

$$T_0 = T - T_1 - T_2$$

形成开关信号，
控制变换器



现实考虑

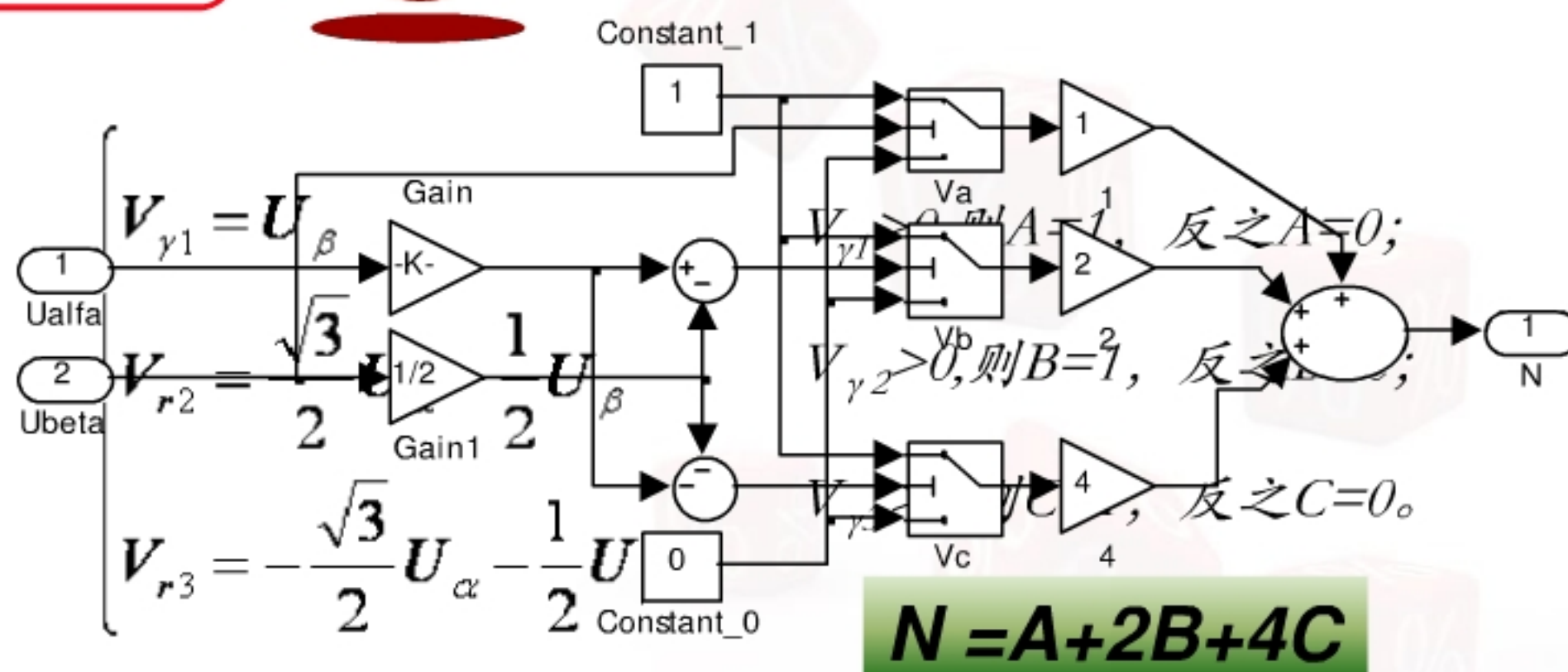


易于计算机实现

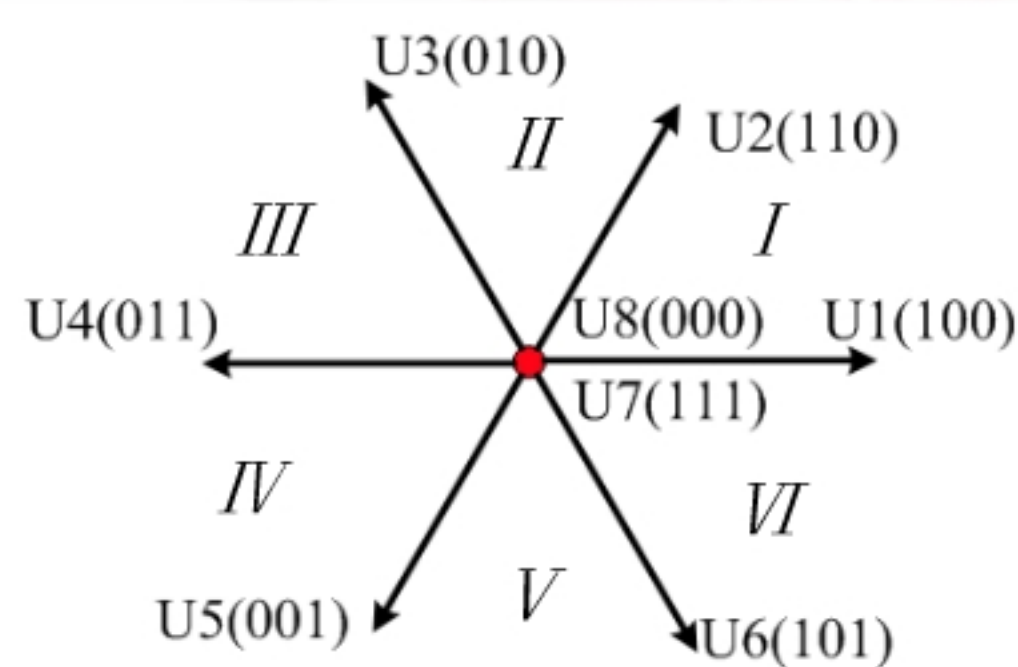


挖掘SVPWM优势

数字实现方式



当 $N=3$ 时, U_{ref} 位于第 I 扇区;
 当 $N=1$ 时, U_{ref} 位于第 II 扇区;
 当 $N=5$ 时, U_{ref} 位于第 III 扇区;
 当 $N=4$ 时, U_{ref} 位于第 IV 扇区;
 当 $N=6$ 时, U_{ref} 位于第 V 扇区;
 当 $N=2$ 时, U_{ref} 位于第 VI 扇区。





开关矢量时间确定

$$U_{ref\beta} \frac{\sqrt{3}T_s}{V_{dc}} \quad \frac{1}{2}(\pm\sqrt{3}u_{ref\alpha} + u_{ref\beta}) \frac{\sqrt{3}T_s}{V_{dc}}$$



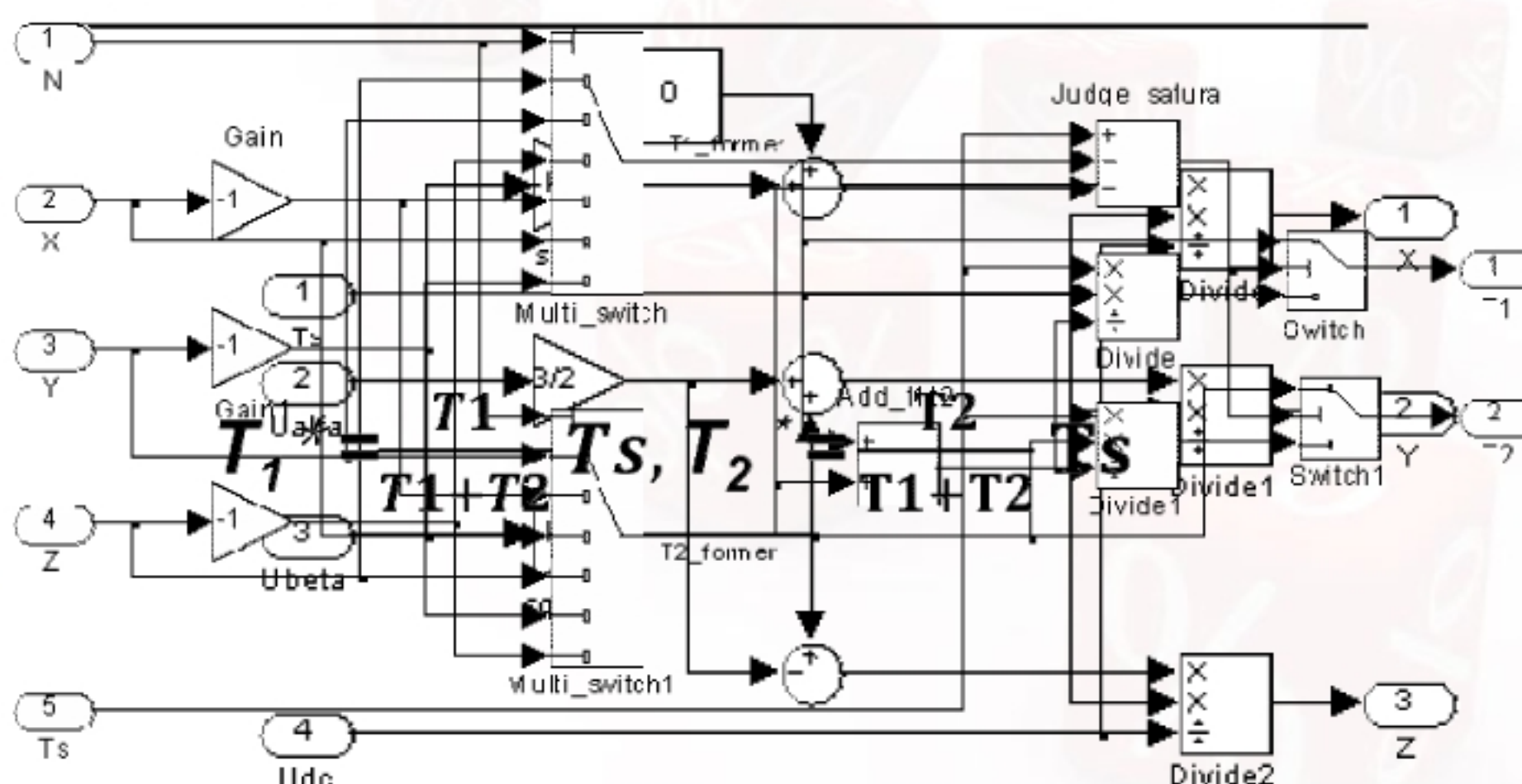
$$\begin{cases} X = \frac{\sqrt{3}T_s}{V_{dc}} U_{\beta} \\ Y = \frac{\sqrt{3}T_s}{2V_{dc}} (\sqrt{3}U_{\alpha} + U_{\beta}) \\ Z = \frac{\sqrt{3}T_s}{2V_{dc}} (-\sqrt{3}U_{\alpha} + U_{\beta}) \end{cases}$$

表 I 矢量作用时间分配

| 扇区 | I | II | III | IV | V | VI |
|----|----|----|-----|----|----|----|
| N | 3 | 1 | 5 | 4 | 6 | 2 |
| T1 | -Z | Z | X | -X | -Y | Y |
| T2 | X | Y | -Y | Z | -Z | -X |

DANGER

$$T_1 + T_2 > T_s !!!$$





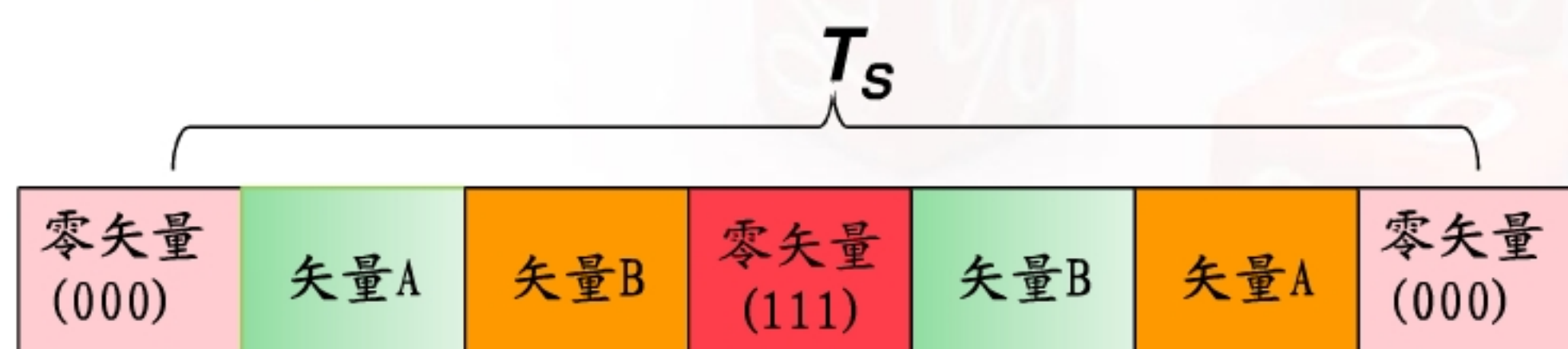
确定电压矢量及其作用时刻

| N | 1 | 2 | 3 | 4 | 5 | 6 |
|--------|----|----|---|----|-----|---|
| 矢量所在扇区 | II | VI | I | IV | III | V |

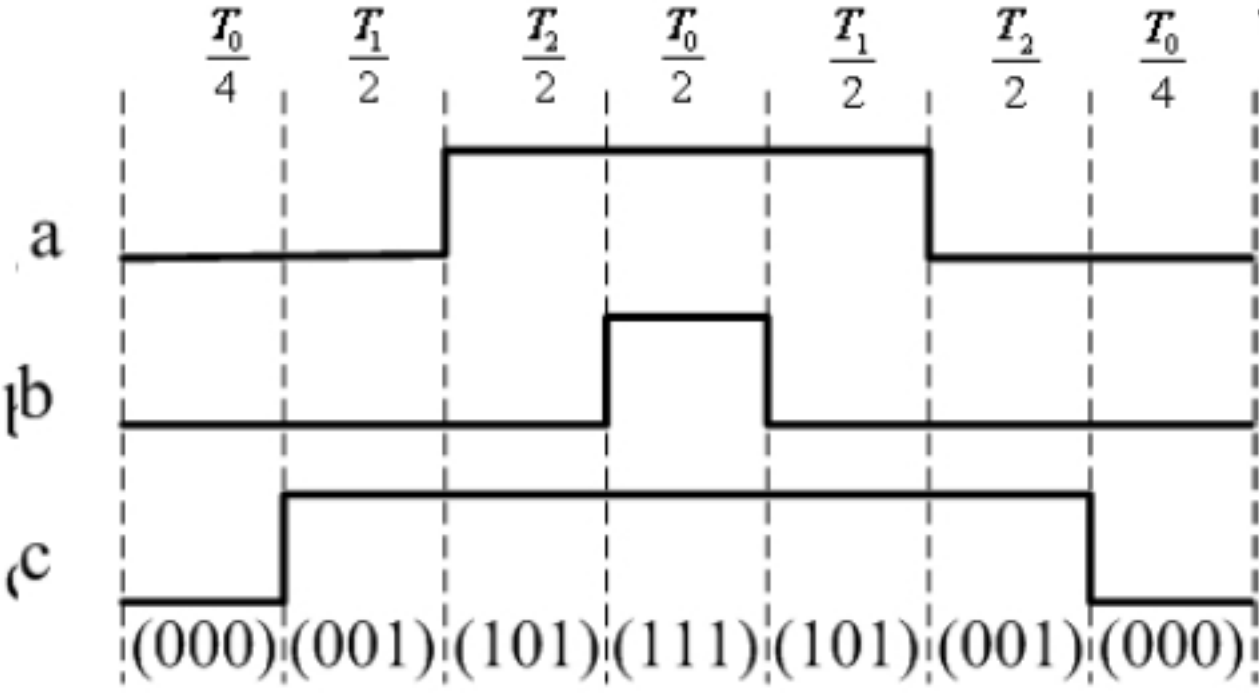
原则: 使每一次的开关切换只涉及一个开关, 降低开关频率

七段空间矢量合成方式

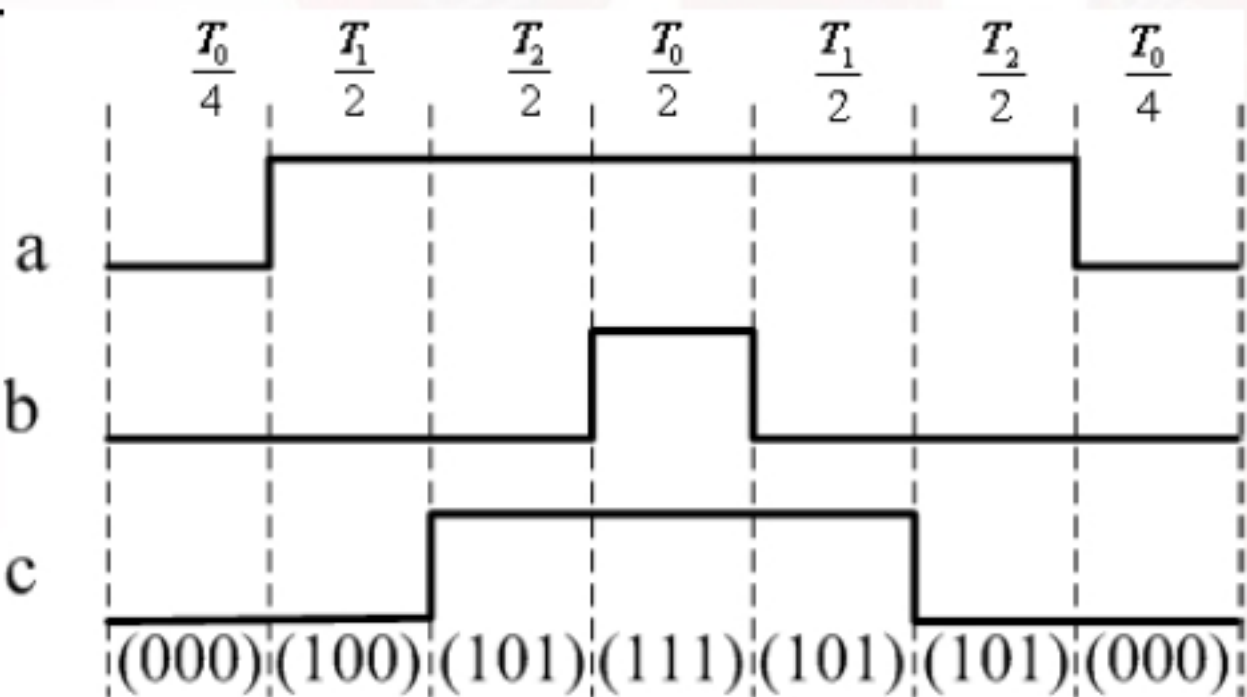
均以零矢量(000)开始和结束, 中间用零矢量(111), 其余时间有效矢量合理安排



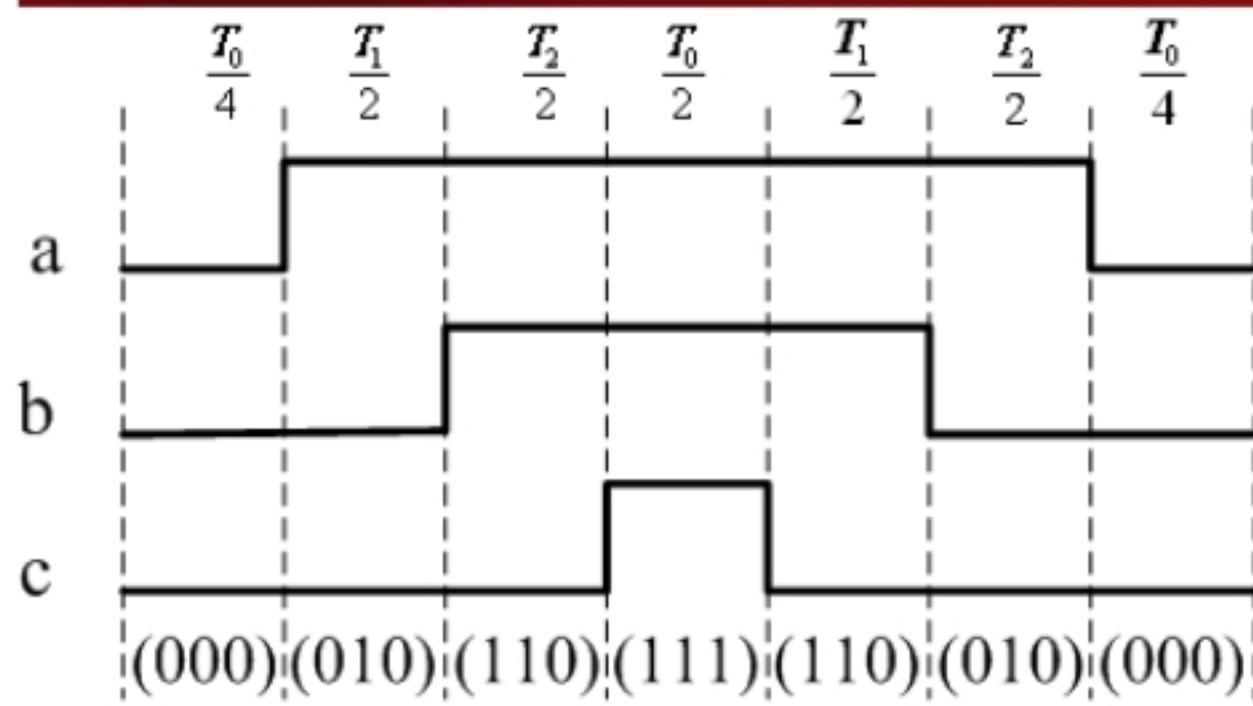
| 作用时间 扇区 | T0/4 零矢量 | T1/2 第一矢量 | T2/2 第二矢量 | T0/2 零矢量 | T2/2 第二矢量 | T1/2 第一矢量 | T0/4 零矢量 |
|------------|-------------|--------------|--------------|-------------|--------------|--------------|-------------|
| I | 000 | 100 | 110 | 111 | 110 | 100 | 000 |
| II | 000 | 010 | 110 | 111 | 110 | 010 | 000 |
| III | 000 | 010 | 011 | 111 | 011 | 010 | 000 |
| IV | 000 | 001 | 011 | 111 | 011 | 001 | 000 |
| V | 000 | 001 | 101 | 111 | 101 | 001 | 000 |
| VI | 000 | 100 | 101 | 111 | 101 | 100 | 000 |



Section V

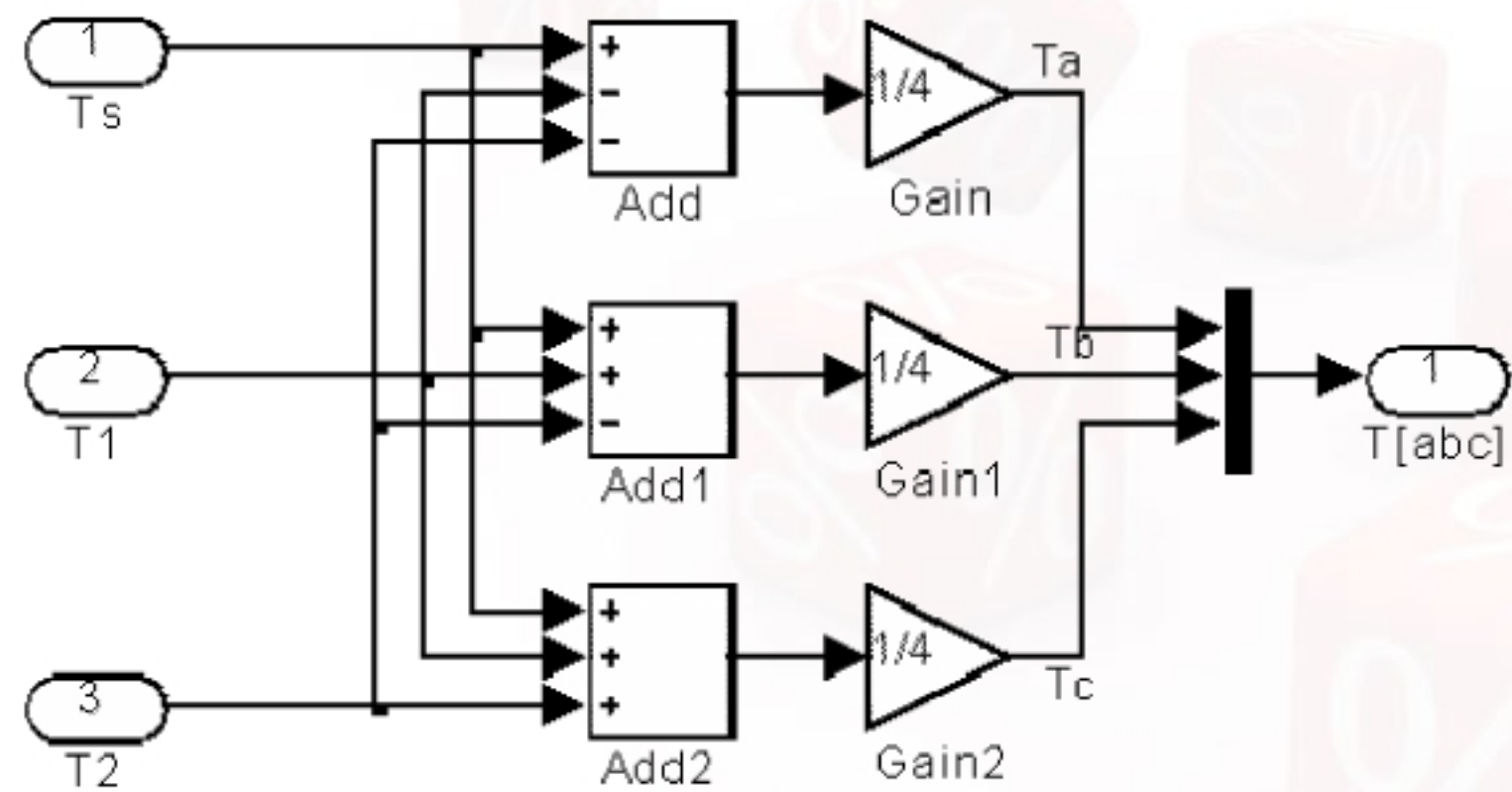


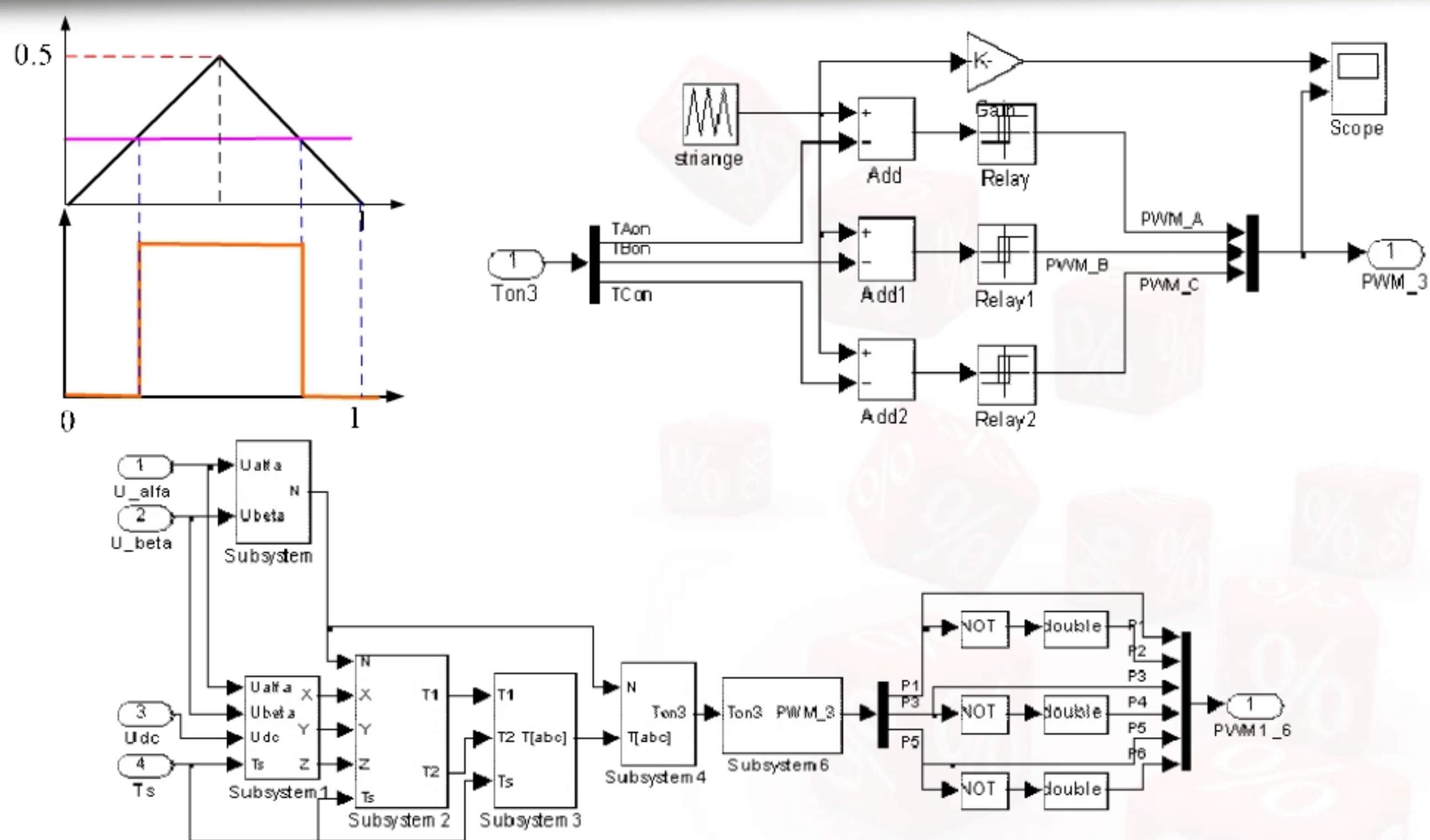
Section VI



$$\begin{cases} T_a = (T_s - T_1 - T_2) / 4 \\ T_b = T_a + T_1 / 2 = (T_s + T_1 - T_2) / 4 \\ T_c = T_b + T_2 / 2 = (T_s + T_1 + T_2) / 4 \end{cases}$$

Section I

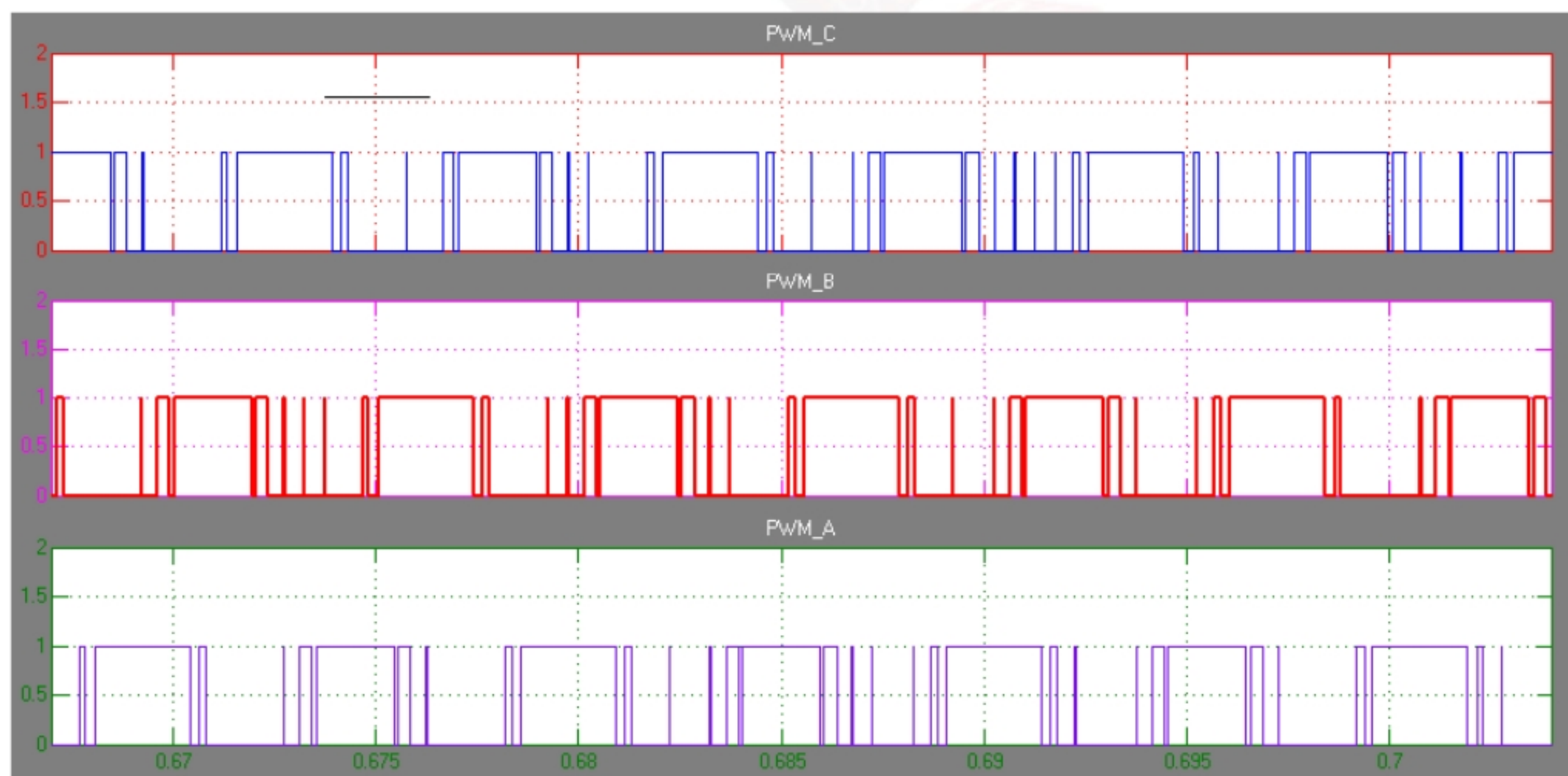




SVPWM调制波产生总图

三相变换器上开关管的控制信号

三相变换器上开关管的控制信号



Comparisons

传统PWM技术一般通过将三角载波和调制函数波比较获得相应脉冲波形

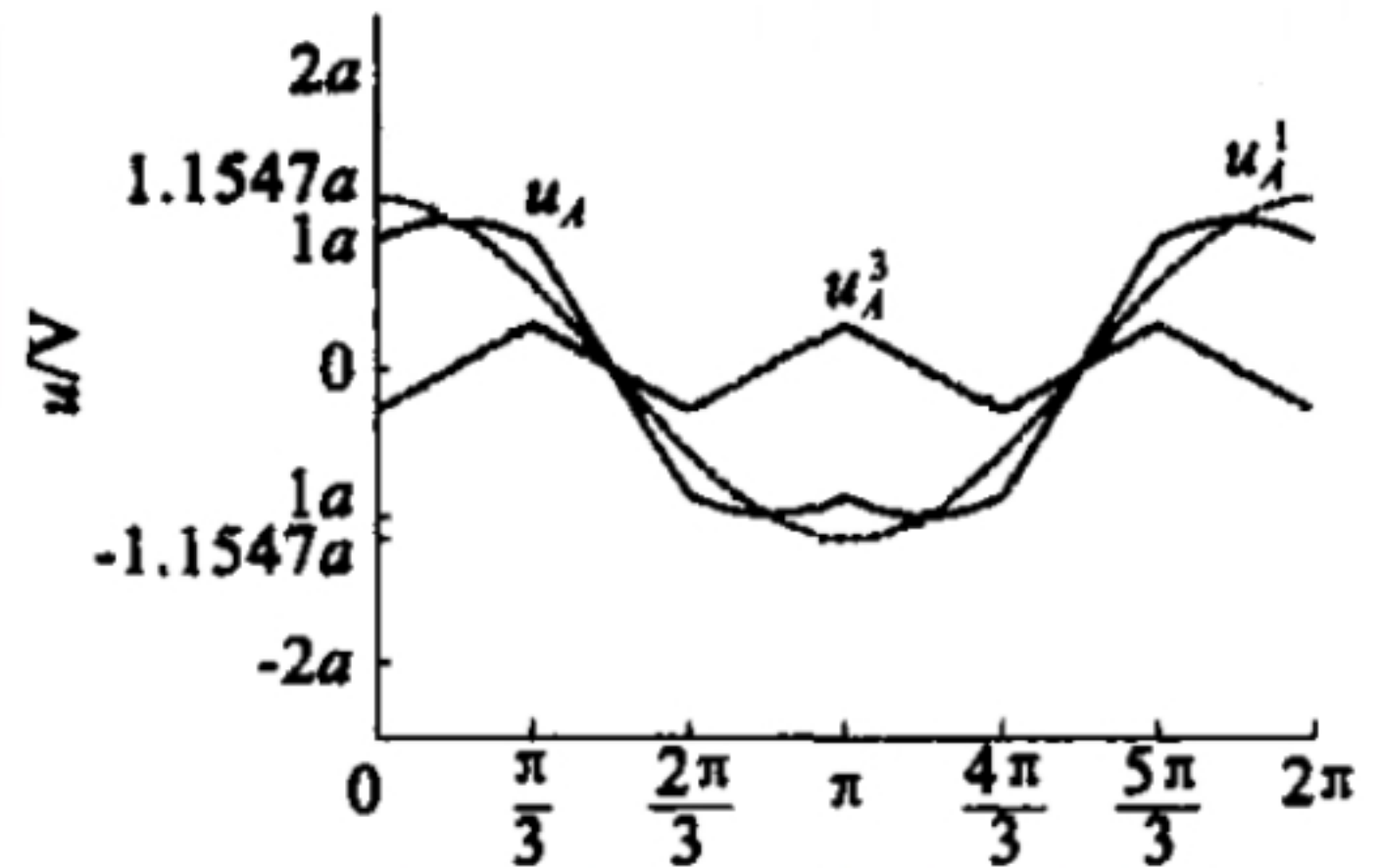
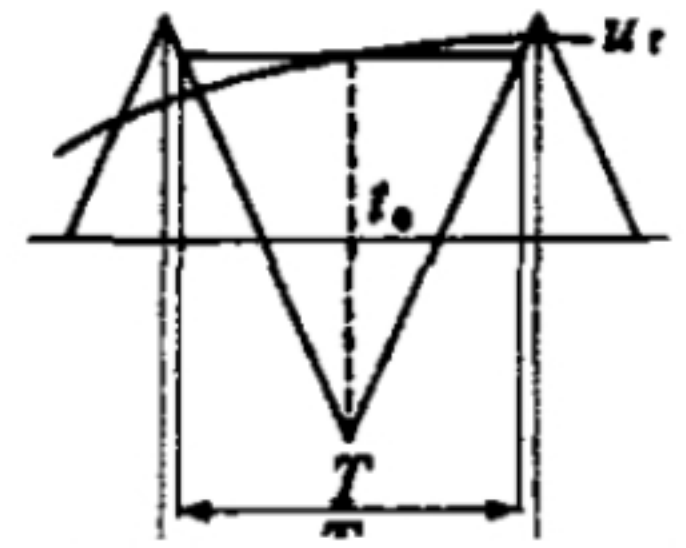
SVPWM的调制函数又该是怎么样呢?

$$u_A = a \times \begin{cases} \cos(\omega t - 30^\circ) & 0 \leq \omega t < 60^\circ \\ \sqrt{3} \cos \omega t & 60^\circ \leq \omega t < 120^\circ \\ -\cos(\omega t - 150^\circ) & 120^\circ \leq \omega t < 180^\circ \\ -\cos(\omega t - 210^\circ) & 180^\circ \leq \omega t < 240^\circ \\ \sqrt{3} \cos \omega t & 240^\circ \leq \omega t < 300^\circ \\ \cos(\omega t + 30^\circ) & 300^\circ \leq \omega t < 360^\circ \end{cases}$$

$$u_A(t) = u_B(t - 120^\circ) = u_C(t + 120^\circ)$$

$$u_{AB} = u_A - u_B = 2a \cos(\omega t + 30^\circ)$$

调制函数与其基波相差为一三倍频率的三角波，故输出相电压不为正弦波



Comparisons

SPWM

$$u(t) = \sqrt{3}M \sin \omega t$$

零序分量

规则采样

$$u_{AB} = u_A - u_B = 2a \cos(\omega t + 30^\circ)$$

$$M = \frac{2a}{\sqrt{3}} = \frac{2|U_{ref}|}{V_{DC}}$$

$$|U_{ref}| \leq \frac{V_{DC}}{\sqrt{3}}$$

SVPWM

$$M \leq 1$$



提高直流电压利用率



动静态性能提高, 转矩脉动小

$$M_{MAX} = \frac{2}{\sqrt{3}} \approx 1.1547$$

